

1 关节空间梯形速度规划

1.1 理论推导

考虑一机器人轨迹 $(t_1, \theta_1), (t_2, \theta_2), \dots, (t_n, \theta_n)$, 其中 (t_1, θ_1) 与 (t_n, θ_n) 为起止点, 其余点为中间点。

如图 1, 对起点处, 加速度

$$\ddot{\theta}_1 = \text{sgn}(\theta_2 - \theta_1)a_{max},$$

变速时间

$$t_{b1} = t_2 - t_1 - \sqrt{(t_2 - t_1)^2 - 2\frac{\theta_2 - \theta_1}{a_1}},$$

第一段一次轨迹速度

$$v_1 = \frac{\theta_2 - \theta_1}{t_2 - t_1 - \frac{t_{b1}}{2}}$$

对终点处,

$$\begin{aligned} \ddot{\theta}_n &= \text{sgn}(\theta_{n-1} - \theta_n)a_{max}, \\ t_{bn} &= t_n - t_{n-1} - \sqrt{(t_n - t_{n-1})^2 + 2\frac{\theta_n - \theta_{n-1}}{a_n}}, \\ v_1 &= \frac{\theta_n - \theta_{n-1}}{t_n - t_{n-1} - \frac{t_{bn}}{2}} \end{aligned}$$

对中间点处,

$$\begin{aligned} v_i &= \frac{\theta_{i+1} - \theta_i}{t_{i+1} - t_i} \\ \ddot{\theta}_i &= \text{sgn}(v_i - v_{i-1})a_{max}, \\ t_{bi} &= \frac{v_i - v_{i-1}}{\theta_i} \end{aligned}$$

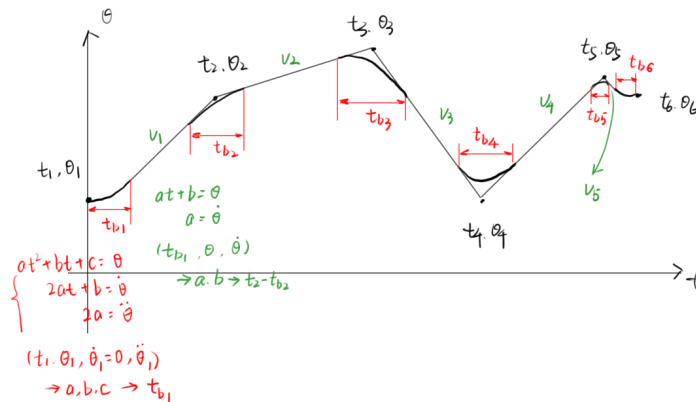


图 1: 轨迹示意图与物理量定义

当确定所有关键点的 $t_{bi}, \ddot{\theta}_i$ 与一次轨迹速度 v_i 后, 运动过程可分为 n 段二次轨迹与 $n-1$ 段一次轨迹。

设二次轨迹为 $\theta(t) = a_{2i}t^2 + b_{2i}t + c_{2i}$, 一次轨迹为 $\theta(t) = a_{1i}t + b_{1i}$ 。考虑到:

①起点处关节运动状态 $\theta_1, \dot{\theta}_1, \ddot{\theta}_1$ 均已知, 令初始 $t_p = 0$ 。

②求解出第 i 条二次轨迹后, 令 $t_p = t_i + \frac{t_{bi}}{2}$ ($i=1$ 时则为 t_{b1}) 时的关节运动状态, 可求解第 i 条一次轨迹。

③求解出第 i 条一次轨迹后, 令 $t_p = t_{i+1} - \frac{t_{b(i+1)}}{2}$ ($i=n-1$ 时则为 $t_6 - t_{b6}$) 时的关节运动状态, 可求解第 $i+1$ 条二次轨迹。

其中, 下标 p 表示用于计算轨迹参数的时间点, 及其对应的关节状态。

由以上条件, 可通过迭代的方式, 对所有轨迹系数进行求解。对二次轨迹:

$$\begin{aligned} a_{2i} &= \ddot{\theta}_p / 2, \\ b_{2i} &= v_p - 2a_{2i}t_p, \\ c_{2i} &= \theta_p - b_{2i}t_p - a_{2i}t_p^2 \end{aligned}$$

使用此轨迹更新 t_p , 对一次轨迹:

$$\begin{aligned} a_{1i} &= v_p, \\ b_{1i} &= \theta_p - a_{1i}t_p \end{aligned}$$

更新 t_p 后, 继续计算下一个二次轨迹。

计算轨迹后, 给定时刻 t , 比较出该点所在的轨迹后, 代入对应表达式即可得到此时的角度, 角速度, 角加速度。

1.2 代码实现

以下代码定义了一个 JointLFPB 类, 调用构造函数时输入所有关键点时刻与角度, 以及此关节的最大加速度, 自动求解各段轨迹的参数。函数 PointCalc 根据输入时刻 t , 返回该时刻对应的关节角度, 角速度, 角加速度。

```

1  classdef JointLFPB
2
3      properties
4          len % 轨迹点数
5          t_begin % 开始时间
6          t_end % 结束时间
7          t % 关键点时刻, Points
8          tb % 二次段运动时间, Points
9          % 二次段轨迹参数,  $q=a_2t^2+b_2t+c_2$ , 分别为 Points 维矩阵
10         a2
11         b2
12         c2
13         % 一次段轨迹参数,  $q=a_1t+b$ , 分别为 (Points-1)*N 矩阵
14         a1
15         b1
16     end
17

```

```

18 | methods
19 |
20 |     function obj = JointLFPB(t, q, max_acc)
21 |         len = size(q, 2); % 点数
22 |         obj.len = len;
23 |         tb = zeros(1, len);
24 |         v = zeros(1, len - 1);
25 |         a = zeros(1, len);
26 |
27 |         % 起点
28 |         a(1) = sign(q(2) - q(1)) * max_acc;
29 |         tb(1) = t(2) - t(1) - sqrt((t(2) - t(1))^2 - 2 * (q(2) - q(1)) / a(1))
30 |         ;
31 |         v(1) = (q(2) - q(1)) / (t(2) - t(1) - tb(1)/2);
32 |
33 |         % 终点
34 |         a(len) = sign(q(len-1) - q(len)) * max_acc;
35 |         tb(len) = t(len) - t(len-1) - sqrt((t(len) - t(len-1))^2 + 2 * (q(len)
36 |         - q(len-1)) / a(len));
37 |         v(len-1) = (q(len) - q(len-1)) / (t(len) - t(len-1) - tb(len)/2);
38 |
39 |         % 中间点
40 |         for i=2:len-2
41 |             v(i) = (q(i+1) - q(i)) / (t(i+1) - t(i));
42 |         end
43 |         for i=2:len-1
44 |             a(i) = sign(v(i) - v(i-1)) * max_acc;
45 |             tb(i) = (v(i) - v(i-1)) / a(i);
46 |         end
47 |
48 |         % 设置起止时间
49 |         obj.t_begin = t(1);
50 |         obj.t_end = t(len);
51 |         obj.tb = tb;
52 |         obj.t = t;
53 |
54 |         % 计算轨迹
55 |         ti = t(1);
56 |         qi = q(1);
57 |         vi = 0;
58 |         ai = a(1);
59 |         for i=1:len-1
60 |             % 二次轨迹
61 |             obj.a2(i) = ai / 2;
62 |             obj.b2(i) = vi - 2 * ti * obj.a2(i);
63 |             obj.c2(i) = qi - ti * obj.b2(i) - ti^2 * obj.a2(i);
64 |             % ti更新为 t(i)+tb(i)/2
65 |             if i==1
66 |                 ti = tb(1);
67 |             else
68 |                 ti = t(i) + tb(i) / 2;
69 |             end
70 |             end
71 |             qi = obj.a2(i) * ti.^2 + obj.b2(i) * ti + obj.c2(i);
72 |             vi = 2 * obj.a2(i) * ti + obj.b2(i);
73 |             % 一次轨迹
74 |             obj.a1(i) = vi;
75 |             obj.b1(i) = qi - obj.a1(i) * ti;

```

```

73         % ti更新为t(i+1)-tb(i+1)/2
74         ti = t(i+1) - tb(i+1) / 2;
75         qi = obj.a1(i) * ti + obj.b1(i);
76         vi = obj.a1(i);
77         ai = a(i+1);
78     end
79     % 最后一段轨迹, 此时ti=t(len)-tb(len)
80     ti = t(len) - tb(len);
81     qi = obj.a1(len-1) * ti + obj.b1(len-1);
82     vi = obj.a1(len-1);
83     ai = a(len);
84
85     obj.a2(len) = ai / 2;
86     obj.b2(len) = vi - 2 * ti * obj.a2(len);
87     obj.c2(len) = qi - ti * obj.b2(len) - ti^2 * obj.a2(len);
88 end
89
90 function [q, v, a] = PointCalc(obj, t)
91     % 若时间点超出边界, 则按起止点进行计算
92     if t < obj.t_begin
93         t = obj.t_begin;
94     elseif t > obj.t_end
95         t = obj.t_end;
96     end
97     % 计算t所在的区间
98     traj_index = 1; % 所在二次/一次轨迹的下标
99     traj_times = 2; % 二次/一次轨迹
100    for i = 1:obj.len-1
101        if t >= obj.t(i) + obj.tb(i) * (0.75 - 0.25 * sign(i - 1.5)) % i
102            =1时tb(i)系数为1, 否则为0.5
103            traj_times = 1;
104            if t >= obj.t(i+1) - obj.tb(i+1) * (0.75 + 0.25 * sign(i - obj
105                .len + 1.5)) % i=len-1时tb(i)系数为1, 否则为0.5
106                traj_index = i + 1;
107                traj_times = 2;
108            end
109        else
110            break
111        end
112    end
113    % 计算
114    if traj_times==2
115        q = obj.a2(traj_index) * t^2 + obj.b2(traj_index) * t + obj.c2(
116            traj_index);
117        v = 2 * obj.a2(traj_index) * t + obj.b2(traj_index);
118        a = obj.a2(traj_index);
119    elseif traj_times==1
120        q = obj.a1(traj_index) * t + obj.b1(traj_index);
121        v = obj.a1(traj_index);
122        a = 0;
123    end
124 end
125
126 function [q, v, a] = TrajGenerate(obj, t)
127     q = [];
128     v = [];
129     a = [];

```

```

127         for i = 1:length(t)
128             [qi, vi, ai] = obj.PointCalc(t(i));
129             q = [q; qi];
130             v = [v; vi];
131             a = [a; ai];
132         end
133         q = q';
134         v = v';
135         a = a';
136     end
137
138 end
139 end

```

以下代码生成 6 轴机器人关节空间规划轨迹:

```

1 clear;
2
3 lfpb(1) = JointLFPB([0,1.5,4], [4.577, 9.577, 14.577]*pi/180, 0.2);
4 lfpb(2) = JointLFPB([0,1.5,4], [15.401, 20.401, 25.401]*pi/180, 0.2);
5 lfpb(3) = JointLFPB([0,1.5,4], [119.444, 124.444, 129.444]*pi/180, 0.2);
6 lfpb(4) = JointLFPB([0,1.5,4], [6.290, 1.290, -3.710]*pi/180, 0.2);
7 lfpb(5) = JointLFPB([0,1.5,4], [53.514, 48.514, 43.514]*pi/180, 0.2);
8 lfpb(6) = JointLFPB([0,1.5,4], [2.617, 12.617, 22.617]*pi/180, 0.2);
9 t = 0:0.001:4;
10
11 for i = 1:6
12     [q(:,i),qd(:,i),qdd(:,i)] = lfpb(i).TrajGenerate(t);
13 end
14 t = t';
15 q = q * 180 / pi; % 转换角度制

```

1.3 运行结果

各关节目标角度与实际角度如图 2。

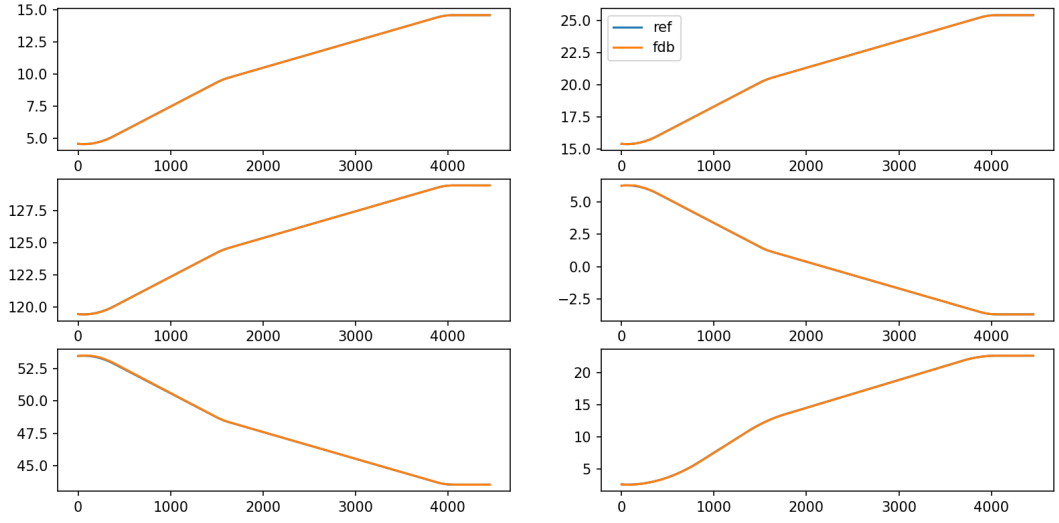


图 2: 各关节目标与实际角度

2 笛卡尔空间直线轨迹梯形速度规划

2.1 理论推导

本节中记笛卡尔空间平移向量为 $q_{1 \times 3}$, 关节角度为 $p_{1 \times 6}$.

由于笛卡尔空间内三平移自由度解耦, 因此给定目标点, 可分别对 x, y, z 方向进行速度规划, 可采用上述提出中的算法。

对于机械臂姿态, 本实验中保持与初始状态相同, 因此需给定机械臂初始状态, 通过计算得到 $g_1 = \begin{bmatrix} R_1 & q_1 \\ 0 & 1 \end{bmatrix}$, 而后续关键点直接给出 p_i 。

通过计算得到 $q(t)$ 后, t 时刻机械臂末端位姿即 $g(t) = \begin{bmatrix} R_1 & q(t) \\ 0 & 1 \end{bmatrix}$ 。

接下来分别对每一时刻进行逆运动学。由于给定末端位姿, 机械臂关节角度 q 最多存在 8 组解, 因此需要对解进行选择。通过子问题方法得到所有解后, 首先将所有角度转换到 $[-\pi, \pi]$ 内, 并检验对应关节角是否处于机器人限位范围内。

记初始时间为 t_1 , 步长 Δt , t 时刻选取“上一时刻关节角”

$$p_i = \begin{cases} p_1, t = t_1 \\ p(t - \Delta t), t \neq t_1 \end{cases}$$

对每一组解计算 $Cost = \sum_{i=1}^6 w_i (p_{(i)} - p_{i(i)})^2$, 其中 w_i 为各关节的权重系数。

最后选取 $Cost$ 最小的解作为最优解。若关节空间轨迹连续且步长足够小, 理论上最优解有 $Cost \approx 0$ 。

得到关节空间轨迹后, 还需计算各关节角速度与角加速度, 验证其在机械臂允许的范围內。

2.2 代码实现

笛卡尔空间规划代码:

```

1 % INPUTS: p0          机器人初始关节角度
2 %               q          关键点对应 [x,y,z] 坐标, Points*3 矩阵, (不包括起点, 包括终点)
3 %               t          关键点时间, 1*Points 矩阵
4 %               max_acc    笛卡尔空间每个方向最大加速度
5 %               step       时间步长
6 function p = CartesianTransition(p0, q, t, max_acc, step)
7     % 机器人参数
8     gst0 = [
9         -1 0 0 0; ...
10        0 -1 0 0; ...
11        0 0 1 1475; ...
12        0 0 0 1
13    ];
14
15    wq = [0 0 0 0 0 0; ...
16         0 0 0 0 0 0; ...
17         0 491 941 941 1391 1391];
18    w = [0 0 0 0 0 0; ...
19         0 1 1 0 1 0; ...
20         1 0 0 1 0 1];
21
22    for i=1:6
23        v(:,i) = cross(wq(1:3,i), w(1:3,i));
24    end
25
26    for i=1:6
27        Xi(:,i) = [v(:,i); w(:,i)];
28    end
29
30    % 正运动学求初始姿态
31    g1 = Fkine(Xi, p0, gst0);
32    % 初始点加入关键点
33    q = [g1(1:3, 4)'; q];
34    t = [0 t];
35
36    % 平移三轴解耦, 因此可类似关节空间LFPB插值进行规划
37    lfpb(1) = JointLFPB(t, q(:,1)', max_acc); % x
38    lfpb(2) = JointLFPB(t, q(:,2)', max_acc); % y
39    lfpb(3) = JointLFPB(t, q(:,3)', max_acc); % z
40
41    % 生成轨迹
42    t = 0:step:t(length(t));
43    for i = 1:3
44        [cart_q(:,i), cart_v(:,i), cart_a(:,i)] = lfpb(i).TrajGenerate(t);
45    end
46

```

```

47 % 逆解, N*6矩阵
48 p = [];
49 % 根据上一个时间点, 选取当前所有解中与之最相近且满足范围的一组解
50 for i = 1:size(cart_q,1)
51     % 机器人上一步关节角
52     if i == 1
53         last_p = p0;
54         sol_ = Ikin6s(g1); % 8组解
55     else
56         last_p = p(i-1,:);
57         sol_ = Ikin6s([g1(1:3, 1:3), cart_q(i,1:3)'; 0 0 0 1]);
58     end
59     sol = [];
60
61     for sol_index = 1:size(sol_,1)
62         for joint_index = 1:6
63             % 多圈校正
64             while sol_(sol_index,joint_index) > pi
65                 sol_(sol_index,joint_index) = sol_(sol_index,joint_index) - 2*
pi;
66             end
67             while sol_(sol_index,joint_index) < -pi
68                 sol_(sol_index,joint_index) = sol_(sol_index,joint_index) + 2*
pi;
69             end
70         end
71     end
72
73     % 关节角限制
74     for sol_index = 1:size(sol_,1)
75         min_val = -(170, 120, 140, 170, 120)*pi/180;
76         min_judge = sol_(sol_index, 1:5) > min_val;
77         max_val = [170, 120, 140, 170, 120]*pi/180;
78         max_judge = sol_(sol_index, 1:5) < max_val;
79         if(sum(min_judge) == 5 && sum(max_judge) == 5)
80             sol = [sol; sol_(sol_index, :)];
81         end
82     end
83
84     % 计算角度差
85     del_p = abs(sol(:, :) - last_p);
86     for sol_index = 1:size(sol,1)
87         for joint_index = 1:6
88             % 多圈校正
89             while del_p(sol_index,joint_index) > pi
90                 del_p(sol_index,joint_index) = del_p(sol_index,joint_index) -
2*pi;
91             end
92         end
93     end
94     del_p = del_p .^ 2; % 角度差的平方
95
96     % 根据不同角度权重, 选取代价函数最小的一组解
97     weight = [2,3,3,1,1,0.1];
98     cost = sum((del_p .* weight)');
99     p = [p; sol(find(cost == min(cost)), :)];
100 end

```



```

101
102 end

```

以下代码生成实际轨迹:

```

1 clear;
2
3 t = 0:0.001:10;
4
5 q = CartesianTransition([13.846, 34.767, 109.040, 9.122, 43.836, 8.990]*pi/180,
6     ...
7     [494.688, 131.422, 444.683; ...
8     494.687, 41.423, 444.682; ...
9     494.686, 41.424, 414.683], ...
10    [2,8,10], 50, 0.001);
11 qd = [zeros(1,6); diff(q, 1, 1)] / 0.001;
12 qdd = [zeros(1,6); diff(qd, 1, 1)] / 0.001;
13
14 t = t';
15 q = q * 180 / pi;

```

2.3 运行结果

各关节目标角度与实际角度如图 3。图中除目标门形轨迹外,也包括末端从当前姿态到达第一关键点(点位文件中的起点)的运动过程,即机械臂实际沿矩形轨迹运动。

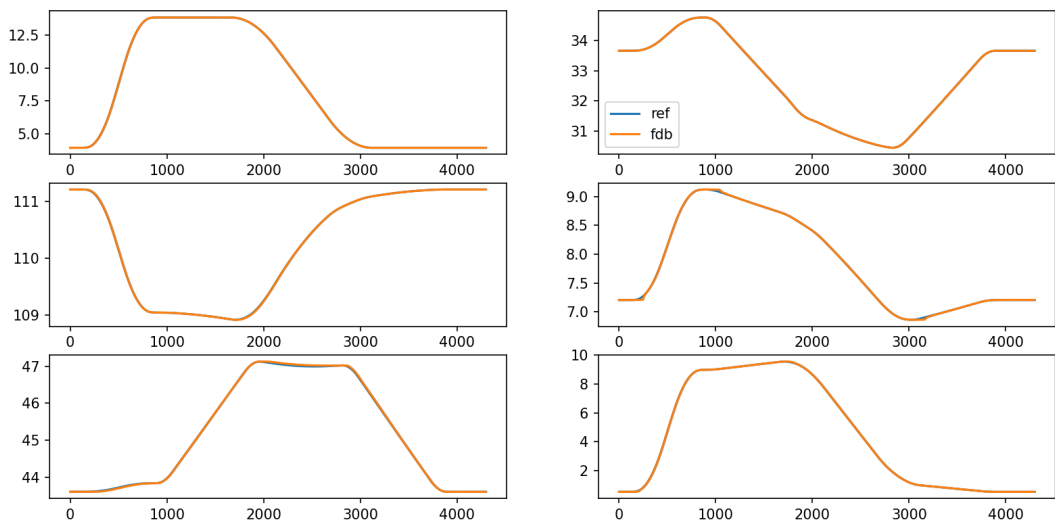


图 3: 各关节目标与实际角度

3 对齐时间

为使各关节尽可能同时启停, 所有关节设定关键点的时间相同。例如关节 1 的关键点为 $(t_1, \theta_{11}), (t_2, \theta_{12}), \dots, (t_n, \theta_{1n})$, 则关节 $i(i=2, \dots, 6)$ 的关键点为 $(t_1, \theta_{i1}), (t_2, \theta_{i2}), \dots, (t_n, \theta_{in})$ 。

对于笛卡尔空间, 则 x, y, z 方向上设定关键点的时间相同。

4 码垛功能实现

图 4 采用以下方式实现码垛功能, 需提供起点到目标点处的点位文件。程序执行开始, 机械臂回到物体上方一定距离的 ① 处。打开气泵, 机械臂运动到 ② 处, 获取物体, 此后沿给定直线规划轨迹到达 ④。最后关闭气泵, 放置物体, 并运动到物体放置目标上方的 ③ 处。

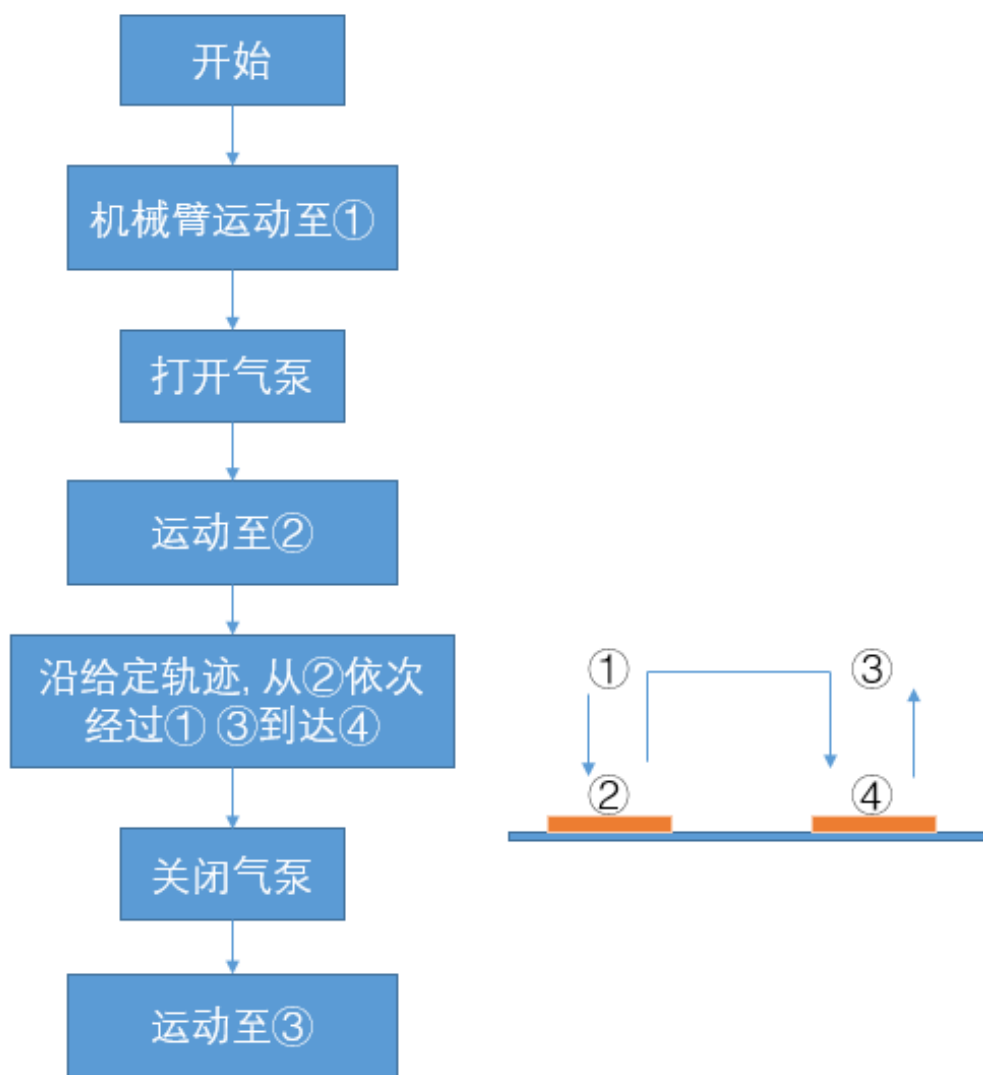


图 4: 码垛流程图